

TÜRKİYE JEOLOJİ KURULTAYI 1985 BİLDİRİ ÖZLERİ

Abstracts of the Geological Congress of Turkey 1985

- **Jeoloji Oturumları**
- **Karma Jeoloji Oturumları**
- **Sedimentoloji Oturumu**
- **Endüstriyel Hammaddeler Oturumu**
- **Pontidler Oturumu**
- **Batı Anadolu Oturumu**
- **Toroslar Oturumu**
- **Enerji Hammaddeleri Oturumu**
- **Hidrojeoloji Oturumu**
- **Maden Jeolojisi Oturumları**
- **Mühendislik Jeolojisi Oturumları**

TMMOB JEOLOJİ MÜHENDİSLERİ ODASI
Chamber of Turkish Geological Engineers
TÜRKİYE JEOLOJİ KURUMU
Geological Society of Turkey

TMMOB
JEOLOJİ MÜHENDİSLERİ ODASI
Chamber of Turkish Geological Engineers

YÖNETİM KURULU - *Executive Board*
Behiç ÇONGAR, Demircan GÜNGÖR, Ahmet ANGILI
Hayrettin KADIOĞLU, Turgay ALEMDAROĞLU
Mehmet PEHLİVAN, Hikmet TÜMER

TÜRKİYE JEOLOJİ KURUMU
Geological Society of Turkey

YÖNETİM KURULU - *Executive Board*
Mehmet AYAN, A Neşat KONAK, Rifat YOLDAŞ
Halil TÜRKMEN, Selçuk BAYRAKTAR
Taner İRKEÇ, E. Melih ÖZTÜRK

JMO BİLİMSEL ve TEKNİK KURULU
Scientific and Technical Board

Vedat DOYURAN, Aziz ERTUNC, Tandoğan ENGİN
Zeki AKYOL, Ünal ARTAN, Aykut BARKA, Selçuk BAYRAKTAR,
Vural GÖKMEN, İsmail HENDEN, Aydın KIRMACIOĞLU,
İsmail KULAKSIZOĞLU, Güven ÖZHAN,
Tardu TÜMER, Vedat YÜKSEL

YAZIŞMA ADRESİ

N.B. All Correspondence Should be Adressed to :
P.K. 507 — Kızılay, ANKARA

TÜRKİYE JEOLOJİ KURULTAYI 1985 BİLDİRİ ÖZLERİ

Abstracts of the Geological Congress of Turkey 1985

- **Jeoloji Oturumları**
- **Karma Jeoloji Oturumları**
- **Sedimentoloji Oturumu**
- **Endüstriyel Hammaddeler Oturumu**
- **Pontidler Oturumu**
- **Batı Anadolu Oturumu**
- **Toroslar Oturumu**
- **Enerji Hammaddeleri Oturumu**
- **HidroJeoloji Oturumu**
- **Maden Jeolojisi Oturumları**
- **Mühendislik Jeolojisi Oturumları**

TMMOB JEOLOJİ MÜHENDİSLERİ ODASI
Chamber of Turkish Geological Engineers
TÜRKİYE JEOLOJİ KURUMU
Geological Society of Turkey

Ayyıldız Matbaası A.Ş., Ankara - 1985

Ö N S Ö Z

Jeoloji bilimi ve tekniğinin ayrılmaz bütünselliğinin oluşturduğu konumuyla jeoloji meslesi, Ülkemiz ekonomisine giderek artan oranında kattığı değerlerden güç almakta ve gelişmektedir.

Bu çerçevede, Ülkemizin değerlendirilebilir doğal kaynak potansiyeline yeni kaynaklar katımasına katkıları olabilecek bilimsel araştırma ve çalışmaların tartışma ortamına getirilmesi ve bu çalışmalara uygulanan yöntem ve tekniklerin irdelenmesi, artık kökleşmiş bir gelenek haline gelen jeoloji kurultaylarının temel amaçları arasında yer almaktadır.

Öte yandan, jeoloji mesleğinin gelişmesi ve içinde bulunduğu muz sorunların, çözüm yolları ile öneriler geliştirilerek, tartışılması, jeolojide özgün bilgi üretimine katkıda bulunulması, Kurultayımızdan beklenen sonuçlar arasındadır.

Açıklanan amaç ve değerlendirilmeler doğrultusunda, Yönetim Kurullarımız arasındaki yaklaşım birliğinin, Türkiye Jeoloji Kurultayı-1985'in ortak yapılması suretiyle, etkinliklerde de birlikteliğe dönüşmiş olması, jeoloji meslesi çalışanlarının somutlaşan iradeleinin bir sonucu olarak algılanmalıdır.

Her zaman olduğu gibi, Kurultayımızın gücünü oluşturacak olan jeoloji meslesi çalışanlarının, Kurultayımıza sahip çıkarak, esirgemeyecekleri katkı ve destekleri ile, sorunlarımıza da sahip çıkmanın anlamlı bir örneğini daha vereceklerine inanıyoruz.

Saygılarımızla.

Yönetim Kurulları

● KURULTAY BAŞKANLIĞI

Başkan : Prof. Dr. Mehmet AKARTUNA İTÜ
Yazman : İsmail KULAKSIZOĞLU İller

● KURULTAY DANIŞMA KURULU

Prof. Dr. Şakir ABDÜSSELAMOĞLU	İTÜ
Prof. Dr. Orhan ATAN	KMF
Dr. Mehmet AKKUŞ	MTA
Turan AKLAN	DSİ
Emin APAK	TCK
Orhan BALTAN	Afet işleri
İbrahim T. ÇAKMAK	MTA
Mesut ÇETİNÇELİK	DSİ
Prof. Dr. Yavuz ERKAN	AÜ
Prof. Dr. Sungu L. GÖKÇEN	CÜ
Prof. Dr. Erol İZDAR	DEÜ
Prof. Dr. Mümin KÖKSOY	HÜ
Prof. Dr. Fikret KURTMAN	SÜ
Recai KUTLU	MTA
Dr. Adnan KALAFATÇIOĞLU	MTA
Burhan KORKMAZER	MTA
Hayrettin OKAY	TPAO
Prof. Dr. Türker ÖZSAYAR	KÜ
Prof. Dr. Ali ÖZTÜRK	CÜ
M. Sıtkı SANCAR	MTA
Ozan SUNGURLU	TPAO
Prof. Dr. Melih TOKAY	ODTÜ
Prof. Dr. Yusuf TATAR	FÜ
Dr. Tarık TUGAL	Etibank
Mehmet TARAKÇI	EİE
Dr. Mehmet C. YILDIZ	MTA

● KURULTAY YÜRÜTME KURULU

Başkan	: Doç. Dr. G. ÜNALAN	MTA
Başkan Yrd.	: Dr. Tunçay ERCAN	MTA
Başkan Yrd.	: Orhan MEMİKOĞLU	MTA
Yazman	: Dr. Y. Ziya ÖZKAN	MTA
Sayman	: Gürkan KICIKOĞLU	MTA
Bildiriler-Prog.:	: Dr. Zeki AKYOL	MTA
Panel	: Dr. Gürkan YERSEL	MTA
TRT-Basın	: Şanver İSMAİLOĞLU	MTA
Film-Slayt	: Remzi İNAL	MTA
Fotoğraf	: Tekin ARIKAL	MTA
Sergi	: Dr. Haluk SELÇUK	MTA
Sergi	: Oktay EKİNCİ	Ank. Bld.
Emek-Ödülleri	: Güngör ÇAMLIYURT	İller
Sosyal-Kül.	: İbrahim SELVİ	MTA
Basım İşleri	: Halil ERTEM	MTA
MTA Salonu	: D. Sabri AĞRIDAĞ	MTA
DSİ Salonu	: Kadri ÜSTÜNKAYA	DSİ
Protokol	: Nilgün YILDIZER	DSİ
Kayıt İşleri	: Selahattin YILDIRIM	MTA

İÇİNDEKİLER

KARMA JEOLOJİ OTURUMU I	1
Yukarı Kelkit Çayı ile Munzur Dağları Arasının Temel Jeoloji Özellikleri ve Yapısal Evrimi. Basic Geological Characteristics and Structural evolution of the Region Between the Upper Kelkit Creek and the Munzur Mountains:	
A. YILMAZ	2
Ankara Melanjinin Liyas Öncesi Yaşı İmrahor Komatiitik Volkanizmasına ait Petrolojik ve Jeokimyasal ön Bulgular. Preliminary Results on the Petrology and Geochemistry of Pre-Liassic İmrahor Komatiitic Volcanism in Ankara melange:	
U.Z. ÇAPAN, O. TEKELİ	3
Kaymaz - Sivrihisar Bölgesinde Güney Metamorfiklerinin Radyometrik Yaşı Hakkında ön Çalışma. Radiometric Age of the Southern Metamorphic Rocks of Kay- maz-Sivrihisar Region: Preliminary Results. S. KULAKSIZ, W.R. PHILLIPS	4
Çatalca (İstanbul) Yöresi Tersiyer Tortullarının Çökelme Özellikleri ve Jeofizik incelemesi. Depositional Properties of the Tertiary Sediments and Investigation of Geophysical Signatures, Around Çatalca, İstanbul. A. ERCAN, B. UZ, F. YAĞMURLU	5
Uluslararası Jeoloji Korelasyon Programı: IGCP'nin 5. Numaralı "Alp - Akdeniz Dağ Kusağındaki Hersiniyen ve Daha Yaşlı Jeoloji Olaylarının Korelasyonu" Geological Excursions in Greece During the Field Meeting, 1984 of the I.G.C.P. International Geological Correlation Program) Project Number Five: "Correla- tion of Prevariscan and Variscan Events of the Alpine-Mediterranean Moun- tain Belt". E. DEMİRTAŞLI	6
KARMA JEOLOJİ OTURUMU II	7
Sinop Bölgesinin Senozoik Tektonik Gelişimi Cenozoic Tectonics Evolution of the Sinop Region. A. BARKA, Y.F. SÜTCÜ, İ. GEDİK, F. TEKİN, E. AREL, M. ÖZDEMİR, T. ERKAL	8
Keller (Burdur - Dimril) Tektonik Penceresi. Keller (Burdur - Dimril tectonic window. H. SELÇUK, S. ÖRÇEN, Z.R. BİLGİN, M. ŞENEL, E. DURUKAN ...	9
Altınekin (Konya) Çevresinin Jeolojisi ve Stratigrafisi. Geology and Stratigraphy of the Konya - Altınekin region. E. KARAMAN	10
Erzurum Basenin Çevresini Etkileyen Aktif Faylar. Active Fault Patterns in the vicinity of the Erzurum Basin. A. BARKA, S. BAYRAKTUTAN	11
Orta Anadolu Masifi'nin Gümüşkent B. (Nevşehir) Dolayında Jeolojik Pet- rografik İncelemeler. Geological-Petrographical Investigations of the Gümüşkent T. and It's Surrounding (Nevşehir City) in the Middle Anatolian Massif.	
N. AYDIN	12
KARMA JEOLOJİ OTURUMU III	13
Bornova Karmaşığının Bazı Stratigrafik ve Yapısal Özellikleri. Some stratigra- graphic and structural characteristics of the Bornova complex. B. ERDOĞAN	14
Biga Yarımadası Kursun - Çinko Yataklarını Değerlendirme Çalışmaları. Mine- ralresource assement for Pb/Zn on Biga Peninsula. Ö. ÖZTUNALI, H. BURGER	15
Sarıkaya Yöresinin Jeoloji ve Kalsedon Yataklarının Tarihçesi. Geology of the Sarıkaya area and history of the chalcedony deposits. M. Y. SAVAŞCIN, M. HATİPOĞLU	16
Doğu Karadeniz Bölgesinde Görülen Endemik Guvatın Nedeni: Jeokimyasal Çevre. The cause of the intense endemic goitre in Eastern Black Sea Region: geochemical enviroment. S. TOKEL, Z. MORCAN	17
Gelibolu Yarımadası'ndaki iki Ana Kayanın Organik Jeokimyası ve Kil Mine- ralleri ile İncelenmesi. An Investigation With Organic Geochemical and Clay Minerals of Two Source Rocks in Gelibolu Peninsula. M. ÖNAL	18

PONTİD OTURUMU	18
Zonguldak Bölgesinin Rejyonel Jeofizik İrdelenmesi. Regional Geophysical Investigations of Zonguldak Region. M. ERGÜN	20
Gümüşhane - Kale Arasının Jeolojisi. Geology of Gümüşhane - Kale Area M. EREN	21
Doğu Pontid Ark - Arkgerisi Bölgelerinde Paleo - Stres Dağılımı ve Çok Saf-hali Riftleşme. Paleo Stress trajectories and Polyphase Rifting in Arc-Back Arc of Eastern Pontid. O. BEKTAS	22
Pontid'lerde Uyumsuz Element Değişimlerinin Transversal Dağılımı ve Dalım Yönü Tayini. Transverse Incompatible Element Variations in Inactive Pontid arc: Implications for Subduction Polarity. S. TOKEL	23
Gebze Civarında Yapılan Paleomanyetik Gözlemlere Göre Batı Pontid'lerin Erken Triyas Esnasındaki Konumu. Location of the Western Pontides According to Palaeomagnetic Observations Near Gebze. M. SARIBUDAK, E. PONAT, A.M.C. ŞENGÖR	24
TOROS OTURUMU	25
Kuzeydoğu Akdeniz Bölgesinin Orogenik Evrimi. Orogenic Evolution of the North Eastern Mediterranean Region. Ş. ÜŞÜMEZSOY	26
Cilo Ofiyolitlerinin Anatomisi. Anatomy of Cilo Ophiolite. Y. YILMAZ	27
Amanos Dağlarındaki alt Paleozoyik Qökellerinin Çökelme Ortamları ve Paleocoğrafik Evrimi. Depositional Environments and Paleogeographic Evolution of the Lower Paleozoic Sediments in the Amanos Mountain. M. ÖNALAN	28
Kıbrıs ile Türkiye Arasındaki Klikya Baseninin Kuzey ve Güney Kenarlarının Bazı Jeolojik Özelliklerinin Karşılaştırılması. Comparison of Some Geological Features of the Northern and Southern Borders of Cilician Basin, Between Turkey and Cyprus. T.N. NORMAN, M.E. ATABEY	29
Ölü Deniz Rift Zonunun Gd-Türkiye'deki Kuzey Ucunu Oluşturan Hatay Rifti Karasu Vadisi Volkanızmasının Nd-Sr İzotoplari Açısından Yorumu. Nd-Sr Isotopic Study of Karasu Valley, N-end of Dead Sea Rift Zone in Hatay, Se-Turkey Ussal Z. ÇAPAN, Philippe VIDAL	30
BATI ANADOLU OTURUMU	31
Batı Anadolu'nun Yapısal Sorunlarının Gravite Verileri İle İrdelenmesi. Analysis of the Tectonic Problems of Western Anatolian With the Gravity Data Z. AKÇİĞ	32
Menderes Masifi'nde Çekirdek-Örtü İlişkilerinin Yeni Gözlemler Işığında Tariştirılması. A Discussion on the "Core-Cover" Relationship on the Basis of Recent Observations (Menderes Massive). N. KONAK	33
Batı Anadolu'daki Volkanik Kayaçlarda Yeni Yapılan Kimyasal Analizlerin, 87Sr/86Sr Ölçümlerinin ve Radyometrik Yaşı Belirlenmelerinin Yorumu. Interpretation of Chemical Analyses, Isotopic Ratios (87 Sr/86 Sr) and Radio-metric Data (K/Ar) of Some Volcanic Rocks (West Anatolia). T. ERCAN, M. SATIR, H. KREUZER, A. TÜRKECAN, E. GÜNAZ, A. ÇEVİKBAŞ, M. ATEŞ, B. CAN	34
Emet Neojen Gölsel Baseninin Mineraloji-Petrografi ve Jeokimyası. Mineralogy-Petrography and geochemistry of Emet lacustrine basin of Neogene area. H. YALÇIN, M.N. GUNDOĞDU	35
Karaburun Yarımadası (İzmir) Üst Kretase Birimlerinin Stratigrafisi. Stratigraphy of the Upper Cretaceous units of Karaburun Peninsula (İzmir). B. ERDOĞAN, S. ÖZER, İ. TANSEL	36
SEDİMANTOLOJİ OTURUMU	37

Gediz Grabeninde (Salihli Güneyi) Üste Doğru Kabalasan Neojen Yaşı Altıv-yonal Yelpaze Çökelleri. Coarsening-Upward Alluvial Fan Deposits (Neogene) of Gediz Depression in the Southern of Salihli, West Turkey. F. YAĞMURLU, T. EMRE	38
Zonguldak (Tarlaağzı ve Kokaksu) Dolayındaki Konkresyonlar ve Oluşum Me-kanizmasının Açıklanması. Concretions around Zonguldak (Tarlaağzı and Ko-kaksu) Explanations of Occurrence Mechanism. A.F. YERGÖK	39
Farklı Oolit Fasiyesleri: Normal, Pelajik ve Diyajenetik Oolitler. Different Types of Oolitic Facies: Normal, Pelagic and Diagenetic Oolites. B. VAROL ..	40
Haymana (SW Ankara) Doğusu ve Batısındaki Üst Kretase - Alt Tersiyer İs-tifinin Sedimentolojisi ve Sedimanter Petrografisi. Sedimentology and Sedimen-tary Petrology of the Upper Cretaceous-Lower Tertiary Sequence at the Eastern and Western Part of Haymana (SW Ankara). İ.H. DEMİREL, H. ÇETİN, S.L. GÖKCEN	41
Erzurum Yakınındaki Üst Miyosen Aşkale - Küükürtlü Kömür Sahalarından Alüvyon Yelpazesi ve GölSEL Sedimentler. Alluvial fan and Lacustrine Sediments from the Upper Miocene Aşkale-Kükürtlü Coalfield near Erzurum. İ.E. KEREY, C. BOZKUŞ	42
Gümüşhane - Bayburt Yöresindeki Karbonat Kayaçların Ortamsal Gelişimi. En-vIRONMENTAL Development of the Carbonate Rocks in Gümüşhane-Bayburt Re-gion. T. HACIALIOĞLU, E. ÖZER, M. EREN, Y. KESKİN	43
PALEONTOLOJİ STRATIGRAFİ OTURUMU	44
Besni Formasyonunun Alidamı (Kahta - Adıyaman) Kuzeybatisındaki Stratig-rafik Gelişimi ile İlgili Yeni Gözlemler. New Observations on the Stratigraphical Development of Besni Formation to the Northwest of Alidamı (Kahta-Adiya-man). E. MERİC, F.Y. OKTAY, S. ÖZER	45
Kahta - Adıyaman Dolayı Besni Formasyonundaki Rudistlerin Stratigrafik Önemi. The Stratigraphic Significance of the Rudists Discovered in the Besni For-mation of the Kahta-Adıyaman Area (SE Anatolia). S. ÖZER	46
Korkuteli Yöresi (KB Antalya) Nannoplankton Biyostratigrafi İncelemesi. Biostratigraphic Investigation of Nannoplankton at the Korkuteli Region (NW Antalya). V. TOKER	47
Deniz Dibi Termal Kaynaklarının Canlı Yaşamı Üzerine Etkisi Hakkında Gün-cel Bir Örnek (İlaca - Çeşme - İzmir). A Recent Example About the Influence of the Thermal Spring Upon the Organic Life (İlaca-Ceşme-İzmir). E. MERİC	48
Mudurnu Yöresi Alt Kretase Ammonit Stratigrafisi. Lower Cretaceous Am-monite Stratigraphy of the Mudurnu Province. F. ALKAYA	49
MADEN YATAKLARI OTURUMU	50
Siirt Madenköy Bakır Yatağı. The Siirt Madenköy copper deposit. R. YILDI-RIM, F. KAYHAN, Y. ULUTÜRK	51
Jeofizik Yöntemle Kurşun-Çinko (Pb-Zn) Yatağının Üretim Alanının Genişt-tilmesi : Afşin-Elbistan. Expansion of the Production Area for the Lead-Zinc Deposit by Using Geophysical Method. A. ERCAN	52
Doğu Akdeniz Çevresi Cu, Zn, Pb, Yataklarının Jeoteknik Konumu. Geotectonic Setting of the Cu, Zn, Pb, Deposits of the Circum Eastern Mediterranean S. UŞENMEZSOY	53
Poluşağı ve Çanaklı (SE Malatya) Fahlerz Grubu Mineralleri ve Sınıflandırı-ması. Fahlore minerals from Poluşağı and Çanaklı (SE Malatya) and their classification. M. ÖZÇELİK	54
Akgünay (Bakacak-Ordu) Çinko-Kurgun-Bakır Yatağı. Akgünay (Bakacak-Or-du) Zinc-Lead-Copper deposit. M. VICİL, B. YALÇINALP	55

MADEN YATAKLARI OTURUMU II	56
Çavdar-Demirtepe (Söke-Aydın) Demir Yatağının Cevher Mineral Parajenezi ve Oluşum Sırası. Paragenesis of Succession of Ore Minerals of Çavdar-Demirtepe (Söke-Aydın) Iron ore Deposits. İ. NUHOĞLU	57
Guleman Ofiyolit'inde Geç Magmatik Evre Kromit Oluşumları. Late magmatic chromite development in the Guleman ophiolite. T. ERGİN, Y.Z. ÖZKAN	58
Kireli (Beyşehir) ile Ş. Karaağaç Arasında Bulunan Demirli Boksit Yatakları. Jeolojisi. Geology of iron-bearing bauxite deposits between Kireli (Beyşehir) and Ş. Karaağaç. A. AYHAN, M.M. KARADAĞ	59
Esendemir Tepe Demir Skarn Yatağı. Esendemir Tepe iron skarn deposit. M.Z. ATEŞ, A. YILDIZ	60
ENERJİ HAMMADDELERİ OTURUMU	61
Petrol Rezervinin Yer Elektrik (Tubel) Yöntemle Belirlenmesi : Siirt-Oyuktaş Petroleum Reservoir Estimation By the Geoel ectrical (Tubel) Method: Siirt-Oyuktaş. A. ERCAN, M.A. DUYGU, F. TOPRAK, M. MUTAFÇILAR	62
Hidrokarbon Aramalarında Formasyon Basıncı. Formation pressure in hydrocarbon exploration. L. T. ERDOĞAN, A. AKGÜL	63
Türkiye Doğal Gazları. Natural gases in Turkey. A. GEDİK, H. YILMAZ	64
Akhisar (Çitak) Yöreni Kömürlerinin Palinolojik İncelemesi. Palynologic investigations of Akhisar (Çitak) Lignite. F. AKGÜN, E. AKYOL	65
Menderes ve Bitlis Masif'lerindeki Uranyum ve Toryum Dağılımları. Uranium and Thorium distributions in Menderes and Bitlis Massifs. H. YILMAZ	66
Bahçeköy Havzasında (Gölbaşı - Ankara) Petrografik Tekniklerin Kömür Analizlerine Uygulanışı. An Application of Petrographic Techniques to Coal Analysis in Bahçeköy Coal Basin (Gölbaşı - Ankara). A.İ. KARAYİĞİT, M. KÖKSOY	67
ENDÜSTRİYEL HAMMADDELER OTURUM	68
Bayındır (Kaman) Fluorit Filonlarında Nadir Toprak Elementleri Jeokimyası. Geochemistry of Rare Earth Elements in Bayındır (Kaman) Fluorite Veins. S. YAMAN	69
Eğrikaya (Alanya) Barit Yatağında Gözlenen Diyajenetik Kristalizasyon Ritmikleri. Diagnostic Crystallization Rhythms of Eğrikaya Barite Deposit at Alanya. M.B. SADIKLAR	70
Menderes Masifi'nin Yapısı İçinde Zimpara Yataklarının Konumu. The Position of Emery Deposits in the Structure of Menderes. E. BAŞARIR, Ö. DORA, O. CANDAN, N. KUN	71
Zonguldak İli Cam - Döküm Kumu Olanakları. Glass-Foundry Sand Possibilities of the Zonguldak Province. N. ÜZER	72
ENDÜSTRİYEL HAMMADDELER OTURUMU II	73
Avnik (Bingöl) Apatitli Manyetit Cevherlegmesinin Litolojisi ve Oluşumunun Jeokimyasal Yöntemlerle Araştırılması. Lithology of the Avnik (Bingöl) Apatite-Bearing Magnetite Mineralization and an Approach to its Genesis by Geochemical Methods. D.İ. ÖNENC	74
Bigadiç Borat Yataklarında Mineral Oluşumları Hakkında Yeni Görüşler. New Conceptions on Mineral Formations in the Bigadiç Borate Deposits. C. HELVACI, Ö. DORA	75
Van Gölü Soda Kaynaklarının Kökeni ve Ele Alınması Gereken Sorunlar. The Origin of Soda Resources of Van Lake and Related Problems. M. TOPKAYA	76
Beypazarı (Ankara) Doğal Soda (Trona) Sahasının Hidrojeoloji Etüdü. Hydrogeological Investigation of Beypazarı (Ankara) Trona (Natural Soda) Field. T. ÖZBEK, C. ÖZGÜR	77

MÜHENDİSLİK JEOLOJİSİ OTURUMU I	78
Sivas Bedirli - Bosankaya Demiryolu Güzergahı Jeofizik Yöntem Uygulamaları ile Zemin Sınıflaması ve Sökülebilirlik Belirlemeleri. Engineering Geophysical Studies on Sivas Bedirli - Bostankaya Railwayroute. V. DEMİROĞLU, F. ÇAKAN	79
Samsun Yerleşim Sahası Mikro Bölgelendirme Çalışmaları. Microzonation Studies for Samsun Metropolitan Area. V. DOYURAN, T. LÜNEL, D. ALTINER, A. KOÇYİĞİT	80
Ankara Andezitlerindeki Kirik ve Çatlakların Jeomekanik Özellikleri. Geomechanical Properties of the Fractures and Joints Within the Andesites of Ankara. E. KARACAN, K. E. KASAPOĞLU	81
Sinop Nükleer Santral Yeri Zemin Jeofizik Araştırmaları. Geophysical Investigation on Sinop Nuclear Power Plant Site. B. BAYER, N. SARAC	82
Kuşadası (Aydın) Yerleşim Alanının Zemin Sorunları. Foundational Problems of the Kuşadası (Aydın) Residential Area. Ö. YAZICI	83
MÜHENDİSLİK JEOLOJİSİ OTURUMU II	84
Yukarı Zap Havzası Enerji Olanakları. Hydraulic Energy Possibilities of the Upper Zap River Basin. B. DEMİREL	85
Aşağı Zap Havzası Enerji Olanakları. Energy Possibilities of Lower Zap River Basin. H.H. ÇOĞALAN	86
Çeşitli Baraj ve Hes Projesinin Mühendislik Jeolojisi Sorunları. Engineering Geological Problems of Geçitli Dam and hep Power Project. B. DEMİREL ..	87
Çayırhan Termik Santrali Zemin İyileştirme Çalışmaları. Çayırhan Thermal Power Plant TG Foundation Grouting. Y. TAN	88
Tek Eksenli Basınç Deneyselerinde Yükleme Plakası (Platen) ve Yükleme Plakası ile Numune Arasında Kullanılan Maddelerin Kayanın Elastik Davranışları Üzerindeki Etkisi. Effects of Plantens and Inserts on the Elastic Behaviour and Failure of Rocks Under Uniaxial Compression. T. ÇANLI	89
MÜHENDİSLİK JEOLOJİSİ OTURUMU III	90
Ankara Gazi Osman Paşa Semtinde Yapılacak Turistik Otel Yeri Temel Testi ve Araştırmaları. The Foundation Exploration and Research of the Touristic Hotel Which Will be Constructed in Gazi Osman Paşa, Ankara M. TOPKAYA	91
Mühendislik Jeolojisi Haritaları ve Planlarının Hazırlanması (Yapımı) İçin Önerilmiş Kurallar. Suggested Guidelines for the Preparation of Engineering Geological Maps and Plans. N. TÜRK, W.R. DEARMAN	92
Bazı Ayrılmış Batı Anadolu Andezitlerinin Mühendislik Özellikleri. Engineering Properties of Selected Weathered Andesites From Western Turkey. N. TÜRK, W.R. DEARMAN	93
HİDROJEOLOJİ OTURUMU	94
Beypazarı (Ankara) Dutlu Kaplıcalar Yöresi Hidrojeoloji Edildi. Hydrogeological Investigation of Dutlu (Beypazarı - Ankara) Thermal Surrounding Area. T. ÖZBEK	95
Urla (İzmir) Yarmadasının Batı Kesiminin Hidrotermal Karst Yapısı, Kirlenebilirliği ve Korunması Üzerine Görüşler. Opinions on the Hydrothermal Karstic Structure, Pollutin and Protection of Western Part of Urla (İzmir) Peninsula. S. FILİZ, L. YALÇIN	96

Ege Bölgesi Jeotermal Alanlarının Genel Yapıyla İlişkilerinin Gravite ve Magnetik Verilerle İrdelenmesi. Interpretation of Gravity and Magnetic Data With Respect to the Relationship Between the Aegean Region Geothermal Areas and General Tectonics. M. ERGÜN, Z. AKÇİĞ, C. SARI	97
Kaplıca Sularını Kirletici Etkiler ve Kirlenmeye Karşı Alınması Gerekli Koruma Yöntemleri. Factors Contaminating Thermal Spring Waters and Preventive Measures to be Taken. N. SENTÜRK	98
Suların Sınıflamasına Bir Yaklaşım. An Approach on the Classification of the Natural Waters. A. ŞAHİNÇİ	99

**KARMA JEOLOJİ
OTURUMU**

YUKARI KELKIT ÇAYI İLE MUNZUR DAĞLARI ARASININ TEMEL JEOLOJİ ÖZELLİKLERİ VE YAPISAL EVRİMİ

Basic geological characteristics and structural evolution of the region between the Upper Kelkit Creek and the Munzur Mountains

ALİ YILMAZ,

Maden Tetkik ve Arama Genel Müdürlüğü, Ankara

ÖZ: Pontidler ile Tauridler'in birbirine en çok yaklaşığı bir alanda yapılan çalışmanın amacı, yörenin temel jeoloji özelliklerini sergilemek ve belirlenen veriler ışığında yapışal evrimini irdelemektir.

İnceleme alanında, farklı ortam koşullarını yansitan, birbiri ile tektonik ilişkili ve Eosen öncesi yaşıta olan dört temel birim ayırtlanmıştır. Bunlar, kuzeyden güneye doğru Kelkit Göreli Otoktonu, Çimen Dağı Napi, Erzincan Napi ve Munzur Kireçtaşıdır.

Kelkit Göreli Otoktonu ile Çimen Dağı Napi, Pontidlerin Eosen öncesi yaşıta olan güney kesimini temsil etmektedir. Erzincan Napi ise Üst Kretase-Paleosen yaşı yitim karmaşığını temsil etmektedir. İnceleme alanının güneyinde yer alan Üst Triyas-Üst Kretase yaşılı Munzur Kireçtaşında Tauridlerin uzantısı olup genellikle platform türü karbonatlardan oluşmaktadır.

Çimen Dağı Napi, kuzeyde Kelkit Göreli Otoktonu, güneyde Erzincan Napi üzerinde, Erzincan Napi da daha güneydeki Munzur Kireçtaşı üzerinde yer almaktadır. Bu tektonik birimler, Jura-Alt Kretase sırasında açılmakta olan havzanın, Üst Kretase-Paleosen evresinde yitimine bağlı olarak yan yana gelmişlerdir.

Eosen ve daha genç kaya türleri, tektonik birimlerin üzerine açısal uyumsuzlukla gelmekte ve gereğleri genellikle ofiyolitlerden türemiş olistostromlar kapsamaktadır. İnceleme alanı, Üst Miyosen-Pliyosen önceinden tümüyle kara haline gelmiştir.

Kuzey Anadolu Fay Zonu, inceleme alanının yaklaşık ortasından geçmekte ve zonun her iki yanında ofiyolitli karmaşık (Anatolid birimi) yer almaktadır. Onun için, bu yörede Pontid-Anatolid tektonik sınırı esas alınarak kestirilen Kuzey Anadolu Fay'ının atımına ilişkin önerilerin geçerli olmadığı vurgulanmaktadır.

ABSTRACT: The aim of this study carried out in an area where the Pontids and the Taurids are the closest to one another, is to demonstrate the basic geological characteristics of the region and interpret the structural evolution.

Four major units of pre-Eocene age have been determined in the study area which are tectonically related to one another and reflect different environmental conditions. These units from north to south are the Kelkit Relative Autochthon, the Çimen Dağı Nappe, The Erzincan Nappe and the Munzur Limestone.

Kelkit Relative Autochthon and Çimen Dağı Nappe represent southern part of Pontids of pre-Eocene age. The Erzincan Nappe is a product of the Upper Cretaceous-Paleocene subduction complex. The Upper Triassic-Lower Cretaceous Munzur Limestone which is located to the south of the studied area is the extent of Taurids and generally made up of platform limestones.

The Çimen Dağı Nappe is located over the Kelkit Relative Autochthon in the north and the Erzincan Nappe in the south. The Erzincan Nappe is over the Munzur Limestone located further south. These tectonic units came together as a result of the Upper Cretaceous-Paleocene subduction of a basin that was spreading during Jurassic-Upper Cretaceous.

The Eocene age and younger rock types overlie the tectonic units with angular unconformities and contain olistostromes generally derived from ophiolites. The study area was uplifted before pre-Upper Miocene-Pliocene as a land.

The North Anatolian Fault Zone passes through the study area and an ophiolitic complex (Anatolids) takes its place on both side of the zone. Therefore, it is emphasized that the estimations related to the displacement along the North Anatolian Fault based on the tectonic boundary between the Pontids and the Anatolids in the study area are not valid.

ANKARA MELANJININ LIYAS ÖNCESİ YAŞLI İMRAHOR KOMATİİTİK VOLKANİZMA-SINA AİT PETROLOJİK ve JEOKİMYASAL ÖN BULGULAR

Preliminary Results on the Petrology and geochemistry of Pre-Liassic İmrahor komatiitic Volcanism in Ankara melange

USSAL Z. ÇAPAN
OKAN TEKELİ

H.Ü.M.M. F. Jeoloji Mühendisliği Bölümü, Ankara
Maden Tetkik ve Arama Genel Müdürlüğü, Ankara

ÖZ: Ankara Melanjinin Liyas-öncesi yaşı Ankara Gurubu, Ortaköy Formasyonu, İmrahor Üyesine (Akyürek ve diğerl., 1984) ait volkanik kayaçlar arasında Aşağı İmrahor Köy yörensi, Mistığın Burnu Mevkiinde komatiitik volkanizma ürünlerini bulunmaktadır. Bildiri, bu volkanizmaya ilişkin ön bulguların tanıtılmasını amaçlamaktadır. Volkanizma, komatiit ve komatiitik bazalt türlerinden oluşmaktadır. Volkanikler, Karakaya fm. eşleniği kabul edilen Elmadağ fm. na ait derritik sedimanter kayaçlarla arabantlı Orta-Üst Triyas yaşı kıreçtaşlı bantları üzerinde yer almaktır ve yöredeki yastık yapılı bazaltlar ve volvano-tortul kayaçlarla birlikte bulunmaktadır. Serisiinde alttan üstte doğru komatiit-komatiitik bazalt-toleyitik bazalt-tüp-klastik sedimanter kayaçlara geçiş gözlenmektedir. Toplam kalınlık 30-50 m. olup degrault boyunca devamlılık söz konusudur. İnce kesitte, serpantineşmiş olivin fenokristalleri, intersertal klinopyroksen ve opak mineraller kloriteşmiş, devitrifiye bir volkanik hamur ile gevrilmekte olup, klasik "spinifeks" dokusu yerine "küümülat" dokusu gözlenmektedir. Komatiitin MgO içeriği yüksek (23 % MgO), SiO₂ ve alkali içeriği düşüktür. MgO-CaO-Al₂O₃ diagramında, komatiit ve komatiitik bazalt arasında bileşimsel kesiklilik belirlenmiştir. Jensen diyagramında komatiitik dizi ile toleyitik bazalt dizisi ilişkileri belirlenmektedir. İmrahor komatiit serisi, düşük CaO/TiO₂ oranı ve yüksek TiO₂ ve REE içeriği ile Penrose Konferansı (1980) ve literatürde verilen tanımlara uymamaktadır.

ABSTRACT: Komatiitic volcanic rocks have been found around Mistığın Burnu near Aşağı İmrahor Village in Ankara among volcanic rocks belonging to İmrahor Member of Ortaköy formation of Pre-Liassic Ankara Group in Ankara Melange. This work aims at presenting preliminary results obtained until now about this volcanism. Volcanism consists of komatiit and komatiitic basalt varieties. Volcanism is associated with pillow basalts and volcano-sedimentary rocks of the region and is underlain by limestone beds of Middle-Upper Triassic age that are intercalated with detritic sedimentary rocks belonging to Elmadağ Fm, which is considered as equivalent of "Karakaya Fm.". In the field, a transition from bottom to top between Komatiit-Komatiitic basalt-tholeiitic basalt-tuff-and clastic sedimentary rocks is visible. Total thickness is about 30-50 m. and serie is continuous along the strike. In thin section, komatiit has a "cumulate" texture instead of typical "spinifex" texture where serpantineşmed olivin, interstitial clinopyroxene and opaque phenocrystals has been surrounded with chloritized, and devitrified volcanic glass. İmrahor komatiit has relatively high MgO (23 % MgO) and low SiO₂ and alkali content. It is possible to see the compositional gap between komatiit and komatiitic basalt on MgO-CaO-Al₂O₃ diagramme. The relationship between komatiitic serie and tholeiitic serie is well-shown on Jensens diagramme. However, İmrahor Komatiit serie is quiet different from classical komatiit descriptions given in Penrose Conference on Komatiites (1980) and in existing literature with its rather low CaO/TiO₂ ratio and high TiO₂ and REE content.

82- 85 my da da hıkkı örnek var.

KAYMAZ - SİVRİHİSAR BÖLGESİNDEN GÜNEY METAMORFİKLERİNİN RADYOMETRİK YAŞI HAKKINDA ÖN ÇALIŞMA

*Radiometric Age of the Southern Metamorphic Rocks of Kaymaz-Sivrihisar Region:
Preliminary Results.*

SEYFİ KULAKSIZ
W. REVELL PHILLIPS

H.Ü.M.M. Fakültesi Jeoloji Bölümü, Ankara
Brigham Young Üniversitesi, A.B.D.

ÖZ : Çalışma bölgesi Eskişehir-Kaymaz-Sivrihisar yolu kuzeyinde yer almaktadır. İnceleme alanında kayalar dokuz litostratigrafik birim/formasyona ayrılmış olup, bu litostratigrafik birimler de genelleştirilerek üç büyük birimde toplanmıştır. Bu birimler; Kuzey Metamorfikleri, Karabayır Metaofiyolitleri, Güney Metamorfikleri olup, birbirlerinden tektonik dokanaklarla ayrılmışlardır.

Güney Metamorfikleri, güney-kuzey doğrultusunda geçişler göstermekte olup, mineral parajenezi, litolojik özellikler ve metamorfizma koşulları bakımından dört farklı zona ayrılmıştır. Bu zonlardaki kayalar ise kuvarsit, mikaşist, metaklastik, metabazit, serpentinsit, mermerdir. Metabazitler ise, yapı, doku, mineral parajenezi, foliasyon gibi özelliklere göre bunlarda dört grupta incelenmiştir.

Kısaca tanımladığımız Güney Metamorfik kayalarından alınan örneklerin üstünde yapılan bu ön çalışma da mika (fenjit-muskovit) minerallerinde 115 M.Y. glokofan mineralleri üzerinde 126.8 ± 26.9 M.Y. yaşlar K-Ar (^{38}Ar - ^{40}Ar) metodu kullanılarak ölçülmüştür.

Ölçülen bu yaşların Paleozoyik yaşı olarak kabul edilen Güney Metamorfik kayalarının metamorfizma yaşı mı yoksa gengleşme yaşı mı ifade ettiği tartışma konusudur. Bölgenin jeolojisi üzerine yapılan çalışmalarda, bu yaşlarda bölgenin şiddetli bir tektonizmaya uğradığı ve/veya minerallerde homojenleşme olayının radyometrik yaşları olabilecegi söylenebilir.

ABSTRACT : The investigated area is in the north of Eskişehir - Kaymaz - Sivrihisar state road. In this research nine informal stratigraphic rock units are defined and, these rock units are collected under the three main rock stratigraphic succession. These are Northern Metamorphic rocks, Karabayır Metaophiolites, Southern Metamorphic rocks, and are separated by tectonic contacts each other.

Southern Metamorphic rocks are divided into four zones, corresponding to the kinds of rocks, observed minerals and mineral paragenesis and metamorphic conditions. Southern Metamorphic rocks are consist of mainly metacarbonates (marble) metasiliceous rocks, metaclastics, micaschist, metabasites. Metabasites are divided into four groups according to their structures, fabrics and mineral paragenesis.

K-Ar (^{38}Ar - ^{40}Ar) ages have been determined 115. m.y. for mica and 126.8 ± 26.9 m.y. for glaucophane, Whether these ages are the age of metamorphism or rejuvenation, is a matter of debate.

It is concluded that these dates represent the age of tectonic deformation of these rocks and/or last homogenization of these minerals (Probably during Kimmerieon phase).

ÇATALCA (İSTANBUL) YÖRESİ TERSİYER TORTULLARININ ÇÖKELME ÖZELLİKLERİ VE JEOFİZİK İNCELEMESİ

Depositional Properties of the Tertiary Sediments and Investigation of Their Geophysical Signatures, Around Çatalca, Istanbul

AHMET ERCAN

BEKTAS UZ

FUZULİ YAĞMURLU

I.T.U. Maden Fakültesi Jeofizik Bölümü, İstanbul

I.T.U. Maden Fakültesi Jeoloji Bölümü, İstanbul

D.E.Ü.M.M. Fakültesi Jeoloji Bölümü, İzmir

ÖZ : Çatalca yöresinde geniş yayılım gösteren Oligosen yaşı tortullar, egemen kaya bileşenlerine dayanılarak, iki ayrı yöntemsiz kaya birimine bölünmüştür. Bunlar alttan üste doğru, (1) kumtaşı-çakıltaşı birimi, (2) marn birimi biçiminde sınıflanmıştır. Tersiyer öncesi temel kayaları, egemen olarak gnays, mikaşist, mermere ve kuvarsit gibi Istranca masifine özgü metamorfik kaya bileşenlerinden oluşur.

Kumtaşı-çakıltaşı birimi, başlıca zayıf pekleşmiş kumtaşı, çamurtaşının kanal dolgularından oluşur. Kömürleşmiş bitki kalıntıları ve yersel kömür arakatkıları kumtaşı kesiti içinde yersel olarak bulunur. Kumtaşı-çakıltaşı birimine özgü dokusal ve sedimentolojik özellikler, birimin alüvyonal bir ortamda çökeliş olabileceğini yansıtır.

Marn birimi, egemen olarak ardalanma gösteren, düzgün laminalli kalkerli şeyl, killi kireçtaşının, çamurtaşının ve kiltası bileşenlerinden oluşur. Çok iyi boylanmış kuvars-kumtaşından oluşan kırıntılı düzeyler, marn kesiti içinde birden çok düzeyde bulunur. Birimin egemen kaya bileşenleri, lagün benzeri sig bir çökelme ortamını öngörür. Kuvars kumtaşlarının dokusal özellikleri yanısıra, yanal yönündeki stratigrafî değişimleri, plaj benzeri kırıntılı kıyı düzliklerinin varlığını simgeler.

Yörede ayırdedilen kaya birimlerinin alansal yayılımı ve yanal yönündeki stratigrafî özelliklerini, batıdan doğuya doğru değişim gösteren, akarsu-kırıntılı kıyı düzlikleri (ya da plaj)-ve lagün olmak üzere farklı depolanma ortamlarının varlığını öngörür. Yörede bulunan değişik boyutlardaki kömür oluşukları, akarsu ya da kırıntılı kıyı düzliklerinde yeralabilen bataklıklarda gelişmiş olmalıdır.

Bu birimlerin yeraltındaki sürekliliğini belirlemek üzere 23 noktada 920 metre akım kol boylu Schlumberger elektrik delgisi yapılmıştır. Bölgeye yer alan yersel birimlerin elektrik özdirenç özellikleri, kuaterner yaşı alivyonlar 20-25, Taban kili ve kömür 1-10, Istranca metamorfikleri 150-100 Ohm-metre değerleri ile birbirlerinden ayırlabildiğinden, yer altının ölçü doğrultuları boyunca jeofizik kesitleri belirlenmiştir.

Özellikle kapaktaşı diye anılan kumtaşının kalınlığı ve yalıtkan Istranca metamorfiklerinin temel topografyası kolayca belirlenebildiğiinden, bunlar arasında yer alan killi ve belki kömürü katmanın kalınlığı haritalanabilmistiştir.

ABSTRACT : Depending upon the major rock content, sediments in Oligocene age, which shows wide spread in Çatalca region, were classified into two different rock units, i.e. sandstone-pebble stone and marl. Major pre-tertiary rocks are gneiss, micaschists, marble and quartzite which are representatives of the Istranca metamorphic massives.

Contents of the sandstone-pebblestone unit are, loosely hardened sandstone and channel deposits of mudstone and pebblestone. Local existence of coaled plant fossils and local intersupplementary coals are observed in sandstone section. Sedimentologic and matrixial properties of the sandstone-pebblesstone unit indicate that such unit possibly deposited in alluvial medium.

Composition of the marl unit are limestone-shale, clay-limestone, mudstone and claystone which show cyclic and ordered lamination, Fragmental layers which are composed of highly good classified quartzsandstone situate in many levels of marl section.

Major rock components of the unit reveal a lagoonal type shallow depositional medium. In addition to matrixial properties of the quartz sandstone lateral variation in stratigraphy represent the existence of a beach type fragmental shore planes.

Regional spread of the reconized rock units and lateral stratigraphic characters points out existence of different depositional media which are ordered as river-fragmental shore plane (or beach) and lagoon, in the field. Lignite occurrence observed with varying dimensions may show that it may be developed in marshy places which possibly take place in the beach part.

In order to delineate the continuation of these units, Schlumberger eletrical soundings were conducted in two-different profiles and at 23 stations for up to 920 meters of current line expansion. Units are discriminated with respect to their electrical resistivities which are 20 to 25 $\Omega\text{-m}$ for the quaternary alluvium, 10 to 15 $\Omega\text{-m}$ for marl, 40 to 100 $\Omega\text{-m}$ for sandstone, 10 to 25 $\Omega\text{-m}$ for sandstone-claystone, 1 to 10 $\Omega\text{-m}$ for lignite and clay complex, and 150 to 1000 $\Omega\text{-m}$ for the Istranca metamorphics. Using the variation in electrical properties, geophysical (geoelectrical) sections were obtained along each profiles. Since the thickness of the sandstone, which is locally also called as the sealing rock, and topography of the basement rock which is composed of the Istranca metamorphics were determined accurately. As a result of these, we estimated thickness of the possibly productive claylignite conductive layer sandwiched in between.

ULUSLARARASI JEOLOJİ KORELASYON PROGRAMI: IGCP'nin 5. NUMARALI "ALP - AKDENİZ DAĞ KUŞAĞINDAKİ HERSİNYEN ve Daha YAŞLI JEOLOJİ OLAYLARININ KORELASYONU"

Geological Excursions in Greece During the Field Meeting, 1984 of the I.G.C.P. International Geological Correlation Program) Project Number Five: "Correlation of Prevariscan and Variscan Events of the Alpine-Mediterranean Mountain Belt."

ERDOĞAN DEMİRTAŞLI

Maden Tetkik ve Arama Genel Müdürlüğü, Ankara

ÖZ : Uluslararası jeoloji korelasyon programı IGCP'nin 5 Numaralı "Alp-Akdeniz Dağ Kuşağındaki Hersinyen ve daha yaşlı jeolojik olayların korelasyonu" Projesinin 1984 yılı saha çalışması 17-23 Eylül 1984 tarihinde Yunanistan'da yapıldı. Atina'da yapılan bilimsel toplantı sonunda düzenlenen ve bütün üyelerin katıldığı resmi gezide (E) jeotraversi boyunca, güneyde Salamis adasından kuzyeye Rodop Masifi'ne kadar Yunanistan'ın en önemli jeotektonik birimleri incelendi. Bu gezide tartışılan jeotektonik birimler ve başlıca jeolojik sorunlarla gezi güzargahılarındaki özet bilgiler aşağıda sunulmuştur.

Birinci gün : Atina-Salamis adası-Parnis-Atalanti-Pteleos-Larissa: Özellikle doğu Yunanistan (Subpelagoniyen ve Sikladik) tektonik birimine ve genelde Helenid'lere ait üst Paleozoyik yaşlı formasyonlar,

İkinci gün : Larissa-Olympus-Verria-Vermion Kozani: Olympus tektonik penceresi ve Pelegoniyen nappaları.

Üçüncü gün : Kozani?Askion-Kastoria-Floria Edessa: Almopia ve Kastoria metamorfik birimler ve bunlarla ilgili asid magmatizma.

Dördüncü gün : Edessa-Thessaloniki-Chalkidiki-Kavala: Serbo-Makedonya zonuna ait meta bazik ve metamorfik kayalar.

Beşinci gün : Kavala-Drama-Sidironero-Kavala: Rodop karmasıının güney kuzey kesiti boyunca gözlenen Rodop çevresi, Lesvos, Kerdilia, Vertiskos, Pangeon ve Sidironero birimlerinin metamorfik formasyonları.

Yukarıda açıklanan resmi geziden hemen sonra, projenin Yunanistan Koordinatörü Dr. D. Papanikolau tarafından yalnız Türk koordinatörünün katılacağı ve birinci gezide görülmeyen Paleoponez yarımadası naplı yapısı ve formasyonları Toros kuşağındakilere çok benzeyen Hydra adası'nın stratigrafisini içeren özel bir gezi düzenlendi. Doğu Ege tektonik birimine ait kayaların Yunanistanda en güzel görüldüğü bir yer olan Hydra adasında yüzeyleyen bu formasyonların Batı Toros kuşağındaki allokton birimlerden Orta ve Üst Antalya Napolarındaki Permian ve Triyas yaşlı formasyonlarla stratigrafik açıdan çok büyük benzerlikler gösterdiği gözlemlendi. Palaponez yarımadasında ise Pelaponez nappaları ve Mani, Arna, Ionian, Tripolis ve Pindos tektonik birimleri ve bu birimler arasındaki ilişkiler incelendi.

ABSTRACT : Field meeting of the project Number Five: Correlation of Prevariscan and Variscan events of the Alpine-Mediterranean Mountain Belt of the International Geological Correlation program took place in Greece in 17-23 September 1984. An official geological excursion along the Geotraverse (E) which includes all important geotectonic units of Greece from Salamis Is land at the south to the Rodop Massif at the north were succeeded the scientific meeting. Itinerary of this geological excursion and geotectonic units and related problems are given below:

First day : Athens-Salamis Island-Parnis-Atalanti Pteleos Larissa: Upper Paleozoic formations of the Hellenides, especially the tectonic unit as Eastern Greece (Subpelagonian, cycladic)

Second day : Larissa-Olympus-Verria-Vermion-Kozani: Olympus tectonic window and Palagonian nappes.

Third day : Kozani-Askion-Kastoria-Floria-Edessa: Almopia and Kastoria metamorphic units and acid magmatism.

Fourth day : Edessa-Thessaloniki-Chalkidiki Kavala: Meta basics and metamorphic rocks of the Serbo-Macedonian Zone.

Fifth day : Kavala-Drama-Sidironero-Kavala: North-South section of the Rhodope complex, metamorphic formations of Circum Rhodope, Lesvos, Kerdilia, Vertiskos Pangeon and Sidironero units.

An additional excursion was organized for the Turkish Coordinator of the project by the Greek coordinator Dr. D. Papanikolau to the Peninsula of Peloponnesus and to the Island of Hydra where the Permian and Triassic formations of the Eastern Greece tectonic unit are well exposed, exhibiting a great similarity with the formations of the Middle and Upper Antalya Nappes of the Taurus Belt. In the Peninsula of Peloponnesus various nappes and tectonic units such as Mani, Arna, Ionian, Tripoli sand Pindos ere examined.

**KARMA JEOLOJİ
OTURUMU**

II

SINOP BÖLGESİNİN SENOZOİK TEKTONİK GELİŞİMİ

Cenozoic Tectonic Evolution of the Sinop Region

A. BARKA

Y.F. SÜTGÜ

I. GEDİK

F. TEKİN

E. AREL

M. ÖZDEMİR

T. ERKAL

Maden Tetkik ve Arama Genel Müdürlüğü, Ankara
Maden Tetkik ve Arama Genel Müdürlüğü, Ankara
Maden Tetkik ve Arama Genel Müdürlüğü, Ankara
Maden Tetkik ve Arama Genel Müdürlüğü, Ankara
Maden Tetkik ve Arama Genel Müdürlüğü, Ankara
Maden Tetkik ve Arama Genel Müdürlüğü, Ankara
Maden Tetkik ve Arama Genel Müdürlüğü, Ankara
Maden Tetkik ve Arama Genel Müdürlüğü, Ankara

ÖZ : Sinop Bölgesinde, Karadeniz dağlarının kuzeyinde kalan kesimde geç Kretase-Kuvaterner yaşı birimler yer almaktadır. Bu birimlerin en eskisi volkanik kökenli geç Kretase yaşı Hamsoros Formasyonudur. Bunun üzerine Maestrihiyen-Eosen sonu arasında 3 ayrı türbititik formasyon, sırasıyla Akveren, Atbaşı, ve Kusuri, gelmektedir. Aynı bölgede bir çok farklı fasiyes içeren, Miyosen yaşı Sinop Formasyonu ile sarı kumlardan oluşan Plio-Kuvaterner yaşı Sarıkum Formasyonu belirlenmiştir. Orta Eosen-Pliyosen aralığında bölgede, güneyden kuzeye, Erikli, Ayancık, Balıfaklı ve Pontik şevi ters fayları oluşmuştur.

Yapılan detay çalışmalar sonucunda aşağıdaki tektonik özellikler saptanmıştır.

a) Yukarıda belirtilen ters faylar, zaman içinde sırayla güneyden kuzeye göçerek gelişmişlerdir.

b) Bu olaya paralel olarak, turbiditlerin plastik deformasyonu kuzeyden güneye güncü (düsey) boyutte artmaktadır.

c) Hamsoros ve Sinop Formasyonlarında yapılan, mesoskopik kırık analizleri pontitlerin önceden belirlenen 40° - 45° lik saatin tersine rotasyonunu doğrulamaktadır.

d) Son olarak, Plio - Kuvaterner verileri, Pontik şevin güncel düşük sismik aktivitesi, Bartın depremi fokal mekanizması ve Karadeniz ile Pontit kabukları arasındaki kalınlık farkı bir arada değerlendirildiğinde, Pontik şevin doğrultu atım (sağyanal) artı ters fay bileşenli bir mekanizma ile hareket ettiğini veya başka bir değişle Pontitlerin, Avrasyaya göre Aandolu levhasından çok daha yavaş bir hızla B veya BKB ya doğru hareket ettiğini gösterir niteliktedir.

ABSTRACT : The Sinop Region, the area to the north of the Black Sea mountains, comprises of late Cretaceous-Quaternary rock sequences. The oldest formation in the region is the Hamsoros Formation made up of volcanic rocks and aged late Cretaceous. This formation is followed by a thick turbiditic sediments of the Akveren, the Atbaşı and the Kusuri Formations, respectively, between late Cretaceous to the end of Eocene. During Miocene, sediments belonging to the Sinop Formation deposited in various facies. The latter formation was overlain by the Sarıkum Formation containing mainly yellow sands.

Between the interval of middle Eocene-early Pliocene E-W striking reverse fault system developed in the region, named the Erikli, the Ayancık, the Balıfaklı and the Pontic Escarpment reverse faults.

After completion detailed surveys in various scales, the following tectonic features have been obtained.

a) These reverse faults developed by migrating from south to north in time,

b) Parallel the above migration, the ductile deformation of the turbidites increase from north to south in the third dimension (vertical),

c) Comparison of the orientation of the fractures in the Hamsoros Formation and the Sinop Formation confirmed 40° - 45° anticlockwise rotation of the region since Cretaceous as Paleomagnetic studies revealed earlier,

d) Finally, of the Plio-Quaternary data, the low seismic activity on the Pontic Escarpment, the focal mechanism of the Bartın earthquake and the difference in thickness of the Continental crusts between Black Sea and Pontides are evaluated together, it is possible to assume that the recent mechanism of the Pontic Escarpment may corresponds with a dextral strike-slip fault having with a considerable reverse component may give rise to W or WNW movement of the Pontites with respect to Eurasia, in much slower rate than the Anatolian sholle.

KELLER (BURDUR - DİMRİL) TEKTONİK PENCERESİ

Keller (Burdur - Dimril) tectonic window

HALUK SELÇUK
SEFER ÖRÇEN
Z. RIFKI BİLGİN
MUŞTAFA ŞENEL
ERDAL DURUKAN

Maden Tetkik ve Arama Genel Müdürlüğü, Ankara
Maden Tetkik ve Arama Genel Müdürlüğü, Ankara
Maden Tetkik ve Arama Genel Müdürlüğü, Ankara
Maden Tetkik ve Arama Genel Müdürlüğü, Ankara
Maden Tetkik ve Arama Bölge Müdürlüğü, Konya

ÖZ : Teke Toroslari'nda, ofiyolitlerle birlikte çeşitli fasiyeste, değişik yaşlı kaya birimleri kapsayan ve Langiyan (Lisiyen fazı) bindirmeli Likya (Lisiyen, Teke) Napları, Beydağları Otoktonu'nun batı ve kuzeybatı bölümünü düşük bir açı ile örtmektedir.

Önceki çalışmalarдан (Graciansky, 1972) bilinen Göcek-Kızılıkaya, Bayramdağı, Akköprü-Aygır ve Eldirek tektonik pencereleri, Likya Napları'nın güney bölümünde yer almaktadır. Bu pencerelerden daha kuzeyde (iç kısımda) ilk olarak belirlenen ve "Keller Tektonik Penceresi" adıyla tanımlanan bölge, Likya, Napları ile Beydağları Otokton sınırının yaklaşık 60 km, kuzeybatısında nap örtüsü altında gözlenmiştir.

Keller Tektonik Penceresi; kalkarenit arakatkılı kumtaşı, silttaşları ve kilittaşlarından oluşmuştur. Alt sınırı gözlenemeyen bu birimdeki kumtaşları ile arakatkılı kalkarenitlerde; Miogypsinoïdes cf. complanatus (Schlumberger), Lepidocyclina (Eulepidina) cf. favosa Cushman, Lepidocyclina (Nephrolepidina) praemarginata-morgani, Lepidocyclina sp., Amphistegina cf. lessonii d'Orbigny, Austrotrillina sp., Operculina sp., Pararotalia sp., Melobesia (kırmızı alg) kapsamlı bentonik bir mikrofauna tanımlanmıştır. Bu mikrofaunaya dayanılarak birimin yaşı Akitanian (olasılıkla tabanı) (Alt Miyosen) olarak belirlenmiştir. Keller Tektonik Penceresi çökelleri üzerinde, Üst Lütetiyen -? Priaboniyen yaşlı kumtaşı, kilit taşı, marn, killi kireçtaşları; Üst Triyas-Kretase yaşlı kireç taşı, görtülü kireç taşı, çörtler, ofiyolitler (Likya Napları) tektonik örtü olarak bulunmaktadır.

Akitaniyen yaşlı Keller Tektonik Penceresi çökelleri; Beydağları Otoktonu üst bölümünde ve Göcek penceresinde yüzeyde özdes yaşlı çökeller ile litofasiyes ve biyofasiyes özellikleri bakımından karşılaştırılmıştır. Bu denetime ile Keller Tektonik Penceresi'nde gözlenen Akitaniyen'in, Beydağları Otoktonu ve Göcek penceresindeki Akitaniyen'e eşdeğer olduğu saptanmıştır.

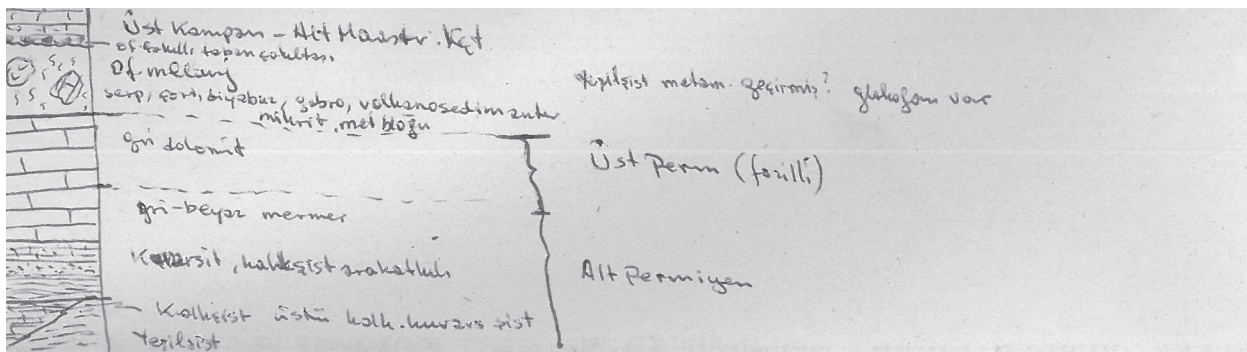
Bu bulgu, Beydağları Otoktonu'nun Likya Napları altında, en azından, Gölhisar-Dirmil (Burdur) dolayına kadar devam ettiğini kanıtlamaktadır.

ABSTRACT : "Lycian Nappes", consisting of various ecailled lithofacies including ophiolites, forms a low angle overthrust sheet (Langhian) covering western and northwestern parts of the "Beydağları Autochton".

Göcek-Kızılıkaya, Bayramdağı, Akköprü-Aygır and Eldirek tectonic windows, previously defined by Graciansky (1972), lies in the southern parts of the Lycian Nappes. The "Keller Tectonic Window" diagnosed and nomenclated, is located approximately 60 km. NW of the "Beydağları Autochton". It consists essentially of a series of sandstones, siltstones, and claystones with interbedded calcarenites dated as Aquitanian on the basis of following benthonic microfauna; Miogypsinoïdes cf. complanatus (Schlumberger), Lepidocyclina (Eulepidina) cf. favosa Cushman, Lepidocyclina (Nephrolepidina) praemarginata-morgani, Lepidocyclina sp., Amphistegina cf. lessonii d'Orbigny, Austrotrillina sp., Operculina sp., Pararotalia sp., Melobesia (red algae). The unit is overlain by tectonic slices consisting of a) sandstone, claystone, marl and clayey limestone; Upper Lutetian in age, b) limestone, cherty limestone and chert; Upper Triassic-Cretaceous in age and ophiolites (Lycian Nappes).

Lithofacies and biofacies characteristics of the Aquitanian sediments of the "Keller Tectonic Window" and the upper section of the "Beydağları Autochton".

The very exact correlation of this unit with the Aquitanian of the "Autochton" leads conclusively to the fact that "Beydağları Autochton" continues, at least, to the vicinity of Gölhisar-Dirmil (BURDUR).



ALTINEKİN (KONYA) ÇEVRESİNİN JEOLOJİSİ VE STRATIGRAFİSİ

Geology and stratigraphy of the Konya - Altinekin region

ERKAN KARAMAN

A.Ü. Jeoloji Mühendisliği Bölümü, Isparta

ÖZ: İnceleme alanı, Altinekin nahiyesi (Konya) ve yakın çevresinde, 1/25.000 ölçekli 6 pafta üzerinde 500 km²'lik bir alan kaplamaktadır.

Bu çalışma ile ilk kez ayrıntılı bir şekilde etüdü yapılan bölgenin tüm jeolojik özellikleri ele alınarak, bölgesel yorumlara yaklaşım getirmek amaçlanmıştır.

Çalışma bölgesinin temelinde en eski birimler olarak, Altinekin grubuna ait sırayla Gözet Formasyonu, Karasivri Formasyonu, Nuras Formasyonu ve Bademli Formasyonu yer almaktadır.

Altinekin grubunun en alt seviyelerinde yer alan Gözet Formasyonu, Milis ve Dereköy olmak üzere iki üye olarak belirlenmiştir. Bu formasyonun egemen litolojisi kalk ve yeşil şistlerdir. Gözet Formasyonu üzerinde uyumlu olarak bulunan Karasivri Formasyonu genel olarak kuvarsitlerden meydana gelmiş olup, üstkesimlere doğru Nuras Formasyonuna ait mermerlere geçiş gösterir. Altinekin grubunun en üst seviyelerinde ise Üst Permiyen yaşı dolomitik kireçtaşlarından oluşan Bademli Formasyonu yer alır.

İnceleme alanında, mağmatik kayaç grubu olarak gözlenen, Kretase yaşı Koçyaka Ofiyolitleri geniş bir alanda yayılmıştır. Koçyaka Ofiyolitlerinin bölgede yerleşiminden sonra Altinekin grubu kayaçları, ofiyolitler üzerinde düşük açılı bir bindirme ile konumlanmıştır.

İnceleme alanının orta ve kuzey kesimlerinde yayılmış olan Koçyaka Ofiyolitleri ile temelde yer alan Altinekin grubuna ait kayaçlar, farklı derecelerde gecirdikleri metamorfizma ve tektonik deformasyon neticesinde bugünkü konumlarını almışlardır.

Bu şekilde gelişen yörenin temeli üzerine deniz, Üst Kampaniyen Alt Maestriyye'de transgresyon yaparak bol globotruncanalı Maydos Formasyonuna ait kireçtaşlarının çökelmesine neden olmuştur.

Üst Miyosen'de çökelen gölsel karakterli kireçtaşı, çakıltası ve marnlardan sonra, yörenin jeolojik gelişimi Pliyo-Kuvatner yaşı genç çökeller ile son bulmuştur.

ABSTRACT: The study area, Altinekin town and its vicinity, was 500 km². on 6 sections scaled to 1/25 000.

First time in that research the detailed study of the whole region are investigated and interpreted with all the characteristic and geological properties.

The oldest units of the area are Gözet formation, Karasivri formation, Nuras formation and Bademli formation all belonging to the Altinekin group.

Gözet formation, which is at the bottom layer of the Altinekin group, was determined as two members, Milis and Dereköy. The dominant lithology of this formation is calc and green schists. Karasivri formation is situated on the top of the Gözet formation and is generally formed quartzite. This formation forms passages to marbles belonging to the Nuras formation. Bademli formation which is on the top layer of this group is formed Upper Permian aged dolomite limestones.

Koçyaka ophiolites, which were observed as magmatic rock groups and aged Cretaceous, surface extensively in the study area. All the contact points of the melange type ophiolites with older units are tectonic. The Altinekin group has been thrusted on the ophiolites, after the Koçyaka ophiolites have been placed in the region.

Koçyaka ophiolites, which surfaced extensively in the study area and Altinekin group rocks, which were situated at the base, had taken their present day positions after going through various degree of metamorphic and tectonic deformations.

The sea caused the globotruncana rich Maydos formation limestones to precipitate on the top of the base of this region by making transgression in Upper Campanian, Lower Maestrichtian.

The geological evolution of the region was terminated with the Plio-Quaternary aged cove precipitations after lake originated limestones gravels and marls precipitated in Upper Miocene.

ERZURUM BASENİ ÇEVRESİNİ ETKİLİYEN AKTİF FAYLAR

Active Fault Patterns in the vicinity of the Erzurum Basin

**AYKUT BARKA
S. BAYRAKTUTAN**

Maden Teknik ve Arama Genel Müdürlüğü, Ankara
Atatürk Üniversitesi, Erzurum

ÖZ : Erzurum baseninin yakın çevresinde yapılan arazi gözlemleri sonucunda, basenin güney kenarını aktif ters fayların kontrol ettiği ve bunların en gençinin şehrin hemen batısında yer alan Kiremitlik Tepelerini yükselterek bu tepeleri oluşturan Pliyo-Kuvaterner yaşı birimleride deformeyi ettiğini belirlenmiştir. Basenin D ve KD'sunda yer alan aktif I. sol-yanal doğrultu-atımlı fay sistemi Erzurum şehri ile Tortum güneyi arasında birbirine paralel 3 faydan meydana gelmiş olup bunların en belirgin ve devamlı olanı Karagöl-Palandöken Payeleri arasında uzanmaktadır. KD'da, Dumlu-Yumaklı II. sol-yanal doğrultu-atımlı fay sistemi bir önceki sisteme, Dumlu-Karaöbek arasında, paralel olup Karaöbek civarında sıkıştırma oluşturacak şekilde 20°'den fazla iğbütkey doğrultu değiştirmektedir.

Basenin bütün kenarları boyunca gösterilen ve yaşı tartışmalı Tortoniyen veya Pliyosen olan çökellerin tabanında, içiçe ve üzerinde yer alan 3 ayrı faz volkanizmanın varlığı saptanmıştır. Bu çökeller şiddetle kıvrımlanmış ve kırılmışlardır. Kıvrımların konumu, basenin KD'sunda, KKD-GGB ve/veya KD-GB, GD'da ise ters faylara yaklaşıklık paralel şekilde BKB-DGD dur.

Yukarıdaki veriler, bu çevrenin KKB-GGB ve/veya KB-GD doğrultulu sıkışma sonucunda deformeyi olduğunu göstermektedir ve Erzurum baseninin önceden belirtildiği gibi graben veya normal artı doğrultu atımlı faylarla gelişen bir basen olmayı, aksine ters ve sol-yanal doğrultu atımlı faylarla birlikte volkaniklerin de gekillendirdiği karmaşık bir oluşum ve gelişime sahip olduğu sonucuna varılmıştır.

Tarihsel ve aletsel depremler incelendiğinde, 12. - 19. yüzyıllar arasında gittikçe artan aktivitenin 20. yüzyılda çevreye sıçraması depremlerin önceden belirlenmesi açısından büyük deprem öncesi bir "Doughnut" dönemi olarak yorumlanabilir.

ABSTRACT : After detailed observation made in the vicinity of the Erzurum basin, it is understood that the southern margin of the basin is controlled by reverse faults and one of the most active segments of the reverse faults occurs north of the Kiremitlik Hills, just west of the City of Erzurum, which causes up-lifting and deformation Plio-Qauternary deposits. I. sinistral strike-slip fault system which occurs E and NE of the basin, consists of three main strands between Erzurum and Tortum. The most developed and continuous of these extends from Karagöl in the NE and Palandöken Payeleri in the SE. The Dumlu-Yumaklı II. sinistral strike-slip fault system occurs east of the latter faults and lies parallel to it between Dumlu-Karaöbek and cahnges direction in a convergence sense between Karagöbek-Yumaklı more than 20°.

The sediments, the age of which is contravertial either Tortonian or Pliocene, crop out all along the margins of the basin and are underlain, transitional and are overlain by three different phases of volcanic rocks.

If detailed mapping and the above data are combined together it can be concluded that the Erzurum region has been deformed under NNW-SSE and/or NW-SE compressions and the basin is neither graben nor a basin created by normal faults having sinistral component, it is more likely the result of a complex phenomena of reverse faults, sinistral strike-slip faults and volcanic morphology.

The study of historical and instrumental earthquakes indicates an increasing activity between 13 th - 19 th centuries followed by a quiescence in the 20 th century and yet the area around the Erzurum basin has been active. The latter can be interpreted as a "Doughnut" period prior ta a large earthquake in the sense of earthquake predictions.

ORTA ANADOLU MASİFİ'NİN GÜMÜŞKENT B. (NEVŞEHİR) DOLAYINDA JEOLOJİK PETROGRAFİK İNCELEMELER

Geological-Petrographical Investigations of the Gümüşkent T. and It's Surrounding (Nevşehir City) in the Middle Anatolian Massif

NİHAL AYDIN

A.U.F. Fakültesi, Jeoloji Mühendisliği Bölümü, Ankara

ÖZ: Bu çalışma ile Gümüşkent B. (Nevşehir) dolaylarında 1/25 000 ölçekli litoloji haritası yapılmış; araziden ve polarize mikroskoptan elde edilen gözlem ve veriler değerlendirilmiştir.

Kayaç numuneleri grid yöntemi ile toplanmıştır. Formasyonlar IUGS'nin belirlediği kurallara göre tanımlanmıştır. Kayaçların sınıflandırılmaları ve isimlendirilmeleri için IUGS (1973, 78), Tröger (1935), Folk (1974) ve Winkler (1979)'den yararlanılmıştır.

Bu arazideki stratigrafik dizilim söyledir : 8) İçmece Kireçtaşları (Pleyistosen-Holosen), 7) Kızılırmak Alüvyonları (Pleyistosen), 6) Karaburna Bazaltları (Pliyosen-Pleyistosen), 5) Yüksekli Formasyonu (Üst Miyosen), 4) Akmezardere Formasyonu (Lütetiyen), 3) Kızıltepe Volkanitleri, 2) Akçataş Graniti, 1) Tamadağ Formasyonu (Seymen 1981).

Kuaterner'de oluşan İçmece fayı deprem bakımından önemli görülmektedir.

Metamorfik kayaçlar, mermerler, amfibolitler, gnays tekstürü gösteren kayaçlar ve gnayslardır. Arazi rejyonal termo dinamo metamorfizmayla eş zamanlı olarak kontakt metamorfizmaya maruz kalmıştır. Bu arazide hidrotermal ve retrograd metamorfizmanın etkileri de gözlenmiştir.

Akçataş granitinde, granitler yoğunlukta olup ayrıca ortoklas granodiorit, kuvarsdiorit, diorit, siyenit, monzonit, kuvars monzonit, monzodiorit, alterasyona maruz kalmış plutonik kayaçlar saptanmıştır. Kızıltepe volkanitlerinde, volkanik bres, litik tüf, andezit, trakit, trakiandezit, kuvars banakit, riyolit, latit (albitleşmeye maruz kalmış) ve porfirit belirlenmiştir.

Akmezardere Formasyonu : Konglomera, kumlu konglomera, konglomeratik kumtaşı, feldspatik litarenit, litik arkoz, subarkoz, kumlu silt ve biomikritten oluşan ardışıklı bir seri halinde izlenmektedir. Flis benzeri bir fasiyeye aittir. (Cihangir)

Yüksekli Formasyonu : Konglomera, kumtaşı, kil ve tüfit ardalanması halinde gözlenmektedir. Gölsel bir ortama aittir.

Araziden ve mikroskoptan elde edilen gözlem ve verilerin değerlendirilmesiyle Gümüşkent B. ve dolaylarının jeolojik evrimi açıklanmıştır. Bu jeolojik model ileride Orta Anadolu Masifi için oluşturulacak benzer modelin çekiরdeğini teşkil edebilir.

Bu arazinin kayaçlarının yapı malzemesi ve/veya doğal parke taşı olarak değerlendirilebilir kısımları vardır.

ABSTRACT : Lithology map with 1/25 000 scale is done; procured observations and datas from field study and polarizing microscope are appraised by this study around the Gümüşkent T. (NW of Nevşehir city).

Samples of the rocks are collected with grid method. The formations are defined according to rules of IUGS. Classifications and nomenclatures of the rocks that are belong to IUGS (1973, 78), Tröger (1935), Folk (1974) and Winkler (1979) are used in this study.

Stratigraphic sequence is follow that in this field : 8) İçmece limestones (Peistocene-Holocene), 7) Kızılırmak alluvions (Pleistocene), 6) Karaburna basalts (Pliocene-Pleistocene), 5) Yüksekli formation (Upper Miocene), 4) Akmezardere formation (Lutetian), 3) Kızıltepe volcanics 2) Akçataş granite, 1) Tamadağ formation (Seymen 1981).

İçmece fault that is created in Quaternary, is appeared important viewpoint of earthquake.

Metamorphic rocks are determined as marbles, amphibolites, rocks that show gneiss textures and gneisses. The field subjected to regional dynamothermal metamorphism which is simultaneous with contact metamorphism and retrograde metamorphism is observed in this field. Granites are usually in Akçataş granite. Other rocks determined as orthoclase granite, granodiorite, quartzdiorite, diorite, syenite, monzonite, quartz monzonite, monzodiorite and altered plutonic rocks.

Volcanic breccia, lithic tuf, andesite, trachiandesite, quartz banakit, trachyte, rhyolite, latit (albitized) and porphyrite are confirmed in Kızıltepe volcanics.

Akmezardere formation is interbedded sequence which is created conglomerate, sandy conglomerate, conglomeratic sandstone, slightly conglomeratic sandstone, feldspathic litharenite, litharenite, lithic arkose, sandy silt and biomicrite. It is belong to a facies which is similar flysch.

Yüksekli formation is observed as an interbedded sequence of conglomerate, sandstone, clay and tuffite. It is concerned as a sedimentary lake basin.

Geological evolution of around the Gümüşkent T. is explained by appraising of observations and datas which is procured from field study and microscopic researches. This geological pattern would be charged a nucleus model which is formed for similar geological pattern of the Middle Anatolia Massif in future.

Some parts of this field are appraised as building material and/or natural cobble stone.

**KARMA JEOLOJİ
OTURUMU**

III

BORNOVA KARMAŞIĞININ BAZI STRATİGRAFİK VE YAPISAL ÖZELLİKLERİ

Some stratigraphic and structural characteristics of the Bornova complets

BURHAN ERDOĞAN

D.E.Ü.M.M.F. Jeoloji Mühendisliği Bölümü, İzmir

ÖZ : İzmir-Ankara zonunun batı uzantısı Manisa ile İzmir arasında fliş türü kayalar, değişik kireçtaşları ve mafik volkanitlerden oluşmuş Geç Kretase-Paleosen yaşı Bornova karmaşığı ile temsil edilir. Bornova karmaşığının matriksini başıca kumtaşı ve çamurtaşı ardalanmasıyla az oranda merkezsel mikritik kireçtaşları, denizaltı kanal dolguları şeklinde polijenik çakıltıları ve mafik volkanitler oluşturur. Triyas yaşı kireçtaşları karmaşığın çökelimi sırasında yerleşmiş allokton kütlelerdir.

Bornova karmaşığının önceki çalışmalarında değişik sekillerde yorumlanmış en önemli sorununu, fliş fasıyesindeki kırıntılı kayalarla Geç Kretase yaşı sığ denizel kireçtaşları arasındaki stratigrafik ilişki oluşturur. Yer yer 1 km kalınlıkta ve 10 km'nin üzerinde uzunlukta kütleler oluşturan Kretase kireçtaşlarının haritalanması ve dokanaklarının incelenmesi sonucu, bunların da Bornova karmaşığı içerisinde, tortullaşma sırasında yerleşmiş allokton kütleler olduğu sonucuna varılmıştır.

Allokton kireçtaşı kütlelerinin yerleşimi karmaşığın matriksinde yumuşak sediment deformasyonlarına neden olmuştur. Ayrıca bu riyit kütlelerin şekli ana deformasyon sırasında karmaşığın matriksinin kazandığı yapıları denetleyen başlıca etmen olmuştur.

ABSTRACT: The westernmost extent of the Izmir - Ankara zone around Izmir and Manisa, is represented by the Bornova complex of late Cretaceous-Paleocene age, which consists of flysch-type sedimentary rock, various limestones and mafic volcanics. The matrix of the Bornova complex is made up mainly of sandstone and mudstone intercalations and minor amount of lenticular micritic limestones, submarine channel deposits of polygenic conglomerates and mafic volcanics. The Triassic limestones are allochthonous blocks which have been incorporated with the complex during its deposition.

The primary problem of the Bornova complex that has been differently interpreted in the earlier works, is the stratigraphic relations between the flysch-type detrital sedimentary rocks and the Upper Cretaceous shallow marine limestones. The Upper Cretaceous limestones are in places more than 1 km thick and 10 km long. Mapping the limestones and reexamining their contacts have indicated that they are also allochthonous blocks carried into the Bornova complex during the deposition.

The displacements of the allochthonous limestone blocks have caused soft-sediment deformation in the matrix of the complex. Besides that, the shapes of the rigid blocks largely determined the structural style of the matrix in the main deformation.

BİGA YARIMADASI KURŞUN - ÇINKO YATAKLARINI DEĞERLENDİRME ÇALIŞMALARI

Mineralresource assemmment for Pb/Zn on BigaPeninsula

ÖNDER ÖZTUNALI
H. BURGER

W. SKALA

I.Ü.M.F. Jeoloji Mühendisliği Bölümü, İstanbul
Berlin Hür Üniversitesi, Matematiksel Jeoloji Çalışma
Grubu
Berlin Hür Üniversitesi, Matematiksel Jeoloji Çalışma
Grubu

ÖZ : Berlin Hür Üniversitesi, Matematiksel Jeoloji Çalışma Grubu ile İstanbul Üniversitesi, Mühendislik Fakültesi, Maden Yatakları ve Jeokimya Anabilimdalı arasında 1982 yılından beri yürütülen bir araştırma programı süregelmektedir. Program, Biga Yarımadasındaki Kurşun/Cinko Yataklarının mineralojik, jeolojik ve cevherleşme sorunlarının modellenerek bunların matematiksel yöntemlerle optimal çözümlemelerini geliştirmeyi amaçlamaktadır. Bu suretle Yarımadanın entegre cevher potansiyelinin saptanması mümkün olacaktır. Balya Maden'de gerçekleştirilen ilk çalışmalar, karmaşık jeolojik yapılara bağlı, çok evreli karmaşık cevherleşmelerin söz konusu olduğu araştırma bölgesinde ancak çok disiplinli incelemelerle sonuca varılabilineceğini ortaya koymuştur.

Sorunu, birey birkaç yatak incelemesi ile kısmi olarak değil, tümdeñ ele alabilmek amacıyla, çok değişkenli istatistik ve jeoistatistik yöntemler uygulanarak önce Biga Yarımadasındaki Pb/Zn yataklarının genel ve özel özelliklerinin dökümünün yapılması yoluna gidilmiştir. Analizlenen veriler, MTA Genel Müdürlüğü ile Batı Almanya'daki esdegeri, BRG, Hannover, tarafından müstereken gerçekleştirilen prospektiyon projesi süresinde toplanan verilerdir.

Bunlara, çalışma programından elde edilen ve edilecek olan saha verileri de eklenerek, matematiksel değişkenlerle Pb/Zn cevherleşme tip ve türleri arasındaki ilişkiler denetlenerek, analizlerin sonuçları bölgede uygulanacaktır.

Sunulan bu çalışmada, açıklanan amaçlara yönelik ilk sonuçlar verilmektedir.

ABSTRACT : In 1982 a cooperative program was established between Istanbul University, Mühendislik Fakültesi and the Free University of Berlin, Working Group Mathematical Geology. An initial project was planned in order to determine the relevant geological and mineralogical information as well as the optimal mathematical methods to evaluate the Pb/Zn potential of the Biga Peninsula. Preliminary investigations in Balya Maden area have demonstrated complicated geological structures and complex mineralisations. Consequently, multidisciplinary studies have to be carried out on the Biga Peninsula.

In an initial case study, multivariate statistic and geostatistics were used to characterize the Pb/Zn deposits on Biga Peninsula.

The analysed data were obtained during an intensive prospecting campaign by MTA and Bundesanstalt für Rohstoffe, Hannover (BRG). Relationships between variables and the different types of Pb/Zn mineralization will be examined and the results of this analysis will be applied to less explored regions.

Simultaneously, additional field work is being conducted on the structural and mineralogical relationships.

Initial result on both aspects will be presented.

SARIKAYA YÖRESİNİN JEOLOJİ VE KALSEDON YATAKLARININ TARİHÇESİ

Geology of the Sarikaya area and history of the chalcedony deposits

M. YILMAZ SAVAŞÇIN
MURAT HATİPOĞLU

D.E.Ü.M.M. Fakültesi, Jeoloji Bölümü, İzmir
D.E.Ü.M.M. Fakültesi, Meslek Yüksekokulu, İzmir

ÖZ: İncelenen alanın genel istifinde Jura öncesi serpentinitize peridotitler temeli oluşturmaktadır. Bunların üzerine stratigrafik bir uyumsuzlukla Paleosen-Eosen serileri gelmektedir. Söz konusu Tersiyer birimler taban çakıltası ile başlayıp, kumtaşı, marn, seyl ardalanmaları ve yanal geçişleri ile belirgindirler. Bu tersiyer istifin en üstünde yer alan volkanitler en az iki aşamada yüzleklemişlerdir.

Jura-Kretase yaşı kireçtaşları, yukarıda tanımlanan Paleosen-Eosen birimlerinin üzerine bindirmedi. Bu yatay tektonizm sonucu Paleosen-Eosen birimleri hafif kıvrılmaların yanısıra aşırı milonitik bir özellik kazanmışlardır. Bunun sonucu olarak, arazide yatay konumlu bir fay breşi düzeyi yaygındır.

Daha sonraki genleşme aşamasında, bölgede düşey tektonizma egemendir. Bu graben tektonizmasına paralel olarak gelişen hidrotermal cevherleşmeler graben tektonizmasına paralel olarak gelişen hidrotermal cevherleşmeler (Kursun, Çinko, Antimon, Kalkopirit) çevrede yaygındır. Cevherleşmenin son aşamasında yüzlekleleyen SiO_2 doygun faz özellikle düşey fay breslerini pekleştirirken, bunların boşuklarında iri kalsedon yumrularının büyümесini de sağlamıştır. Söz konusu SiO_2 sızması bu düşey tektonizmanın kırık hatları boyunca yükselirken, bir önceki yatay tektonizmanın gözenekli ve milonitik fay breşi de zayıf zon olarak silis difusyonundan oldukça etkilenmiştir. Böylece belki de dünyamın en zengin kalsedon yatağı, Tersiyer yaşı bindirme fayı breslerini kendisine rezerv kaya seğerek gerçekleştirmiştir.

ABSTRACT : The basement rocks are represented by the pre-Jurassic serpentinitized peridotites. They have been unconformably overlain by the Paleocene-Eocene sedimentary sequence including a basal conglomerate, interlayering, marl, sandstone and shale, which show strong lateral variation. This sequence is succeeded by volcanic rocks as products of two or more eruptive episodes.

Jurasic and Cretaceous limestones occur as a thrust sheet on the Paleocene-Eocene rocks. The thrust fault is characterized by a distinct horizontal breccia zone.

Late extensional stages resulted in the vertical faults and the associated ore deposits (lead, zinc, stibnite chalcopyrite, pyrite). The latest SiO_2 -saturated fluid phase gave rise to the cementation of the fault breccia and the formation of large nodules of Chalcedony. The SiO_2 -rich fluids also affected the horizontal fault breccia zone of the former compressional stage, and resulted in probably world's largest chalcedony deposits which have an interesting historical background. The chalcedony took its name from a pre-Byzantium town in İstanbul. This town, Chalkedon in the Asian sector of İstanbul served as the trade center of these stones. Four chalcedony pits of antique times have been discovered. The approximate total production from these pits is 10250 ± 850 kg. The technology used in recovering chalcedony can still be applied to modern pits.